

الله
الرحيم
الرحيم

نکات ضروری بیوشیمی پایه

گردآوری و تالیف:

سیمین پوریامهر

زهرا محبوب

دکترهیمن مرادی سردروم

ویرایش علمی

دکترهیمن مرادی سردروم



موسسه علمی انتشاراتی سنا



سرشناسه	- ۱۳۶۶ مرادی سردره، هیمن ،
عنوان و نام پدیدآور	نکات ضروری بیوشیمی پایه/اگردآوری و تالیف سمیه پوریامهر، زهرا محبوب، هیمن مرادی سردره؛ ویرایش علمی هیمن مرادی سردره.
مشخصات نشر	تهران: انتشارات علمی سنا سنا ۱۴۰۰،
مشخصات ظاهری	ص ۳۳۰: تصویر، جدول، نمودار.
شاپک	۹۷۸-۶۰۰-۴۸۸-۳۶۶-۵
وضعیت فهرست نویسی	فیبا
موضوع	زیست‌شیمی
موضوع	Biochemistry
شناسه افزوده	پوریامهر، سمیه، - ۱۳۶۹
شناسه افزوده	محبوب، زهرا، - ۱۳۶۶
شناسه افزوده	مرادی سردره، هیمن ، ۱۳۶۶ -، ویراستار
ردی بندی کنگره	QP۵۱۸/۳
ردی بندی دیوبی	۵۷۲/۸۰۷۶
شماره کتابشناسی ملی	۸۴۴۲۰۷۸
اطلاعات رکورد کتابشناسی	فیبا



مؤسسه علمی انتشاراتی سنا



برای مشاهده قیمت اسکن کنید. ➔

نام کتاب	نکات ضروری بیوشیمی پایه
گردآوری و تالیف	سمیه پوریامهر - زهرا محبوب - دکتر هیمن مرادی سردره
شاپک	۹۷۸-۶۰۰-۴۸۸-۳۶۶-۵
چاپ	سوم - ۱۴۰۴
صفحه‌آرایی	انتشارات علمی سنا
طراح جلد	علیرضا زمانی
پست الکترونیک	elmisana@gmail.com
سایت انتشارات	sanabook.com
تیراز	۱۰۰ نسخه
قیمت	برای مشاهده قیمت اسکن کنید. ➔

شما می‌توانید کتاب‌های نشر علمی سنا را علاوه بر کتابفروشی‌های سراسر کشور از نمایندگی‌های اختصاصی مؤسسه واقع در کلیه استان‌ها تهیه نمایید.

آدرس نمایندگی‌ها در سایت sanapezeshki.com و یا انتهای کتاب درج شده است.

تلفن دفتر پخش: ۰۲۱-۶۶۵۷۴۳۴۵

تلفن دفتر پخش: ۰۲۱-۶۶۵۷۴۳۴۵

دفتر مرکزی: تهران، میدان انقلاب، خیابان جمالزاده شمالی، خیابان فرصت شیرازی، پلاک ۷۲، طبقه همکف
تلفن: ۰۲۱-۶۶۵۷۴۳۴۵

■ فهرست مطالب

فصل ۱: سلول و اجزای آن

۷	نمونه سلول پروکاریوتی: اشتریشیا کولی
۸	آرکی
۸	سلول یوکاریوتی (غیرگیاهی)
۱۰	اجزای سلول یوکاریوتی (گیاهی)

فصل ۲: مقدمه‌ای بر مولکول‌های زیستی

۱۱	اسیدهای آمینه
۱۸	کربوهیدرات‌ها
۲۸	لیپیدها
۳۵	نوکلئوتیدها

فصل ۳: ساختار و عملکرد پروتئین

۴۰	پروتئین‌ها
۴۱	«زنجریه اصلی» پروتئین
۴۴	ساختار ثانویه رایج- ماربیچ آلفا و صفحات بتا
۴۶	ساختمان سوم: پروتئین‌ها
۴۸	ساختمان چهارم
۴۸	ساختار پروتئینی چیست و چگونه سازه‌های پروتئینی اندازه گیری می‌شوند؟
۵۰	هموگلوبین: یک نمونه از ساختار و عملکرد پروتئین
۵۵	چین خوردگی و پایداری پروتئین

فصل ۴: آنزیم‌ها

۵۷	خصوصیات آنزیم‌ها
۵۹	طبقه‌بندی آنزیم‌ها
۶۰	مکانیسم عمل آنزیم
۶۷	واکنش‌های جانشینی هسته دوستی
۶۹	ترکیبات فسفر و شیمی آمها
۷۱	بررسی شیمی فضایی واکنش آنزیم- کاتالیز
۷۲	مطالعات بر روی مکانیسم عمل آنزیم با استفاده آنالوگ‌های حالت گذار
۷۵	مکانیسم کیموتریپسین
۷۸	اختصاصیت سرین پروتئازها
۷۹	پیوندهای هیدروژنی کم مانع
۷۹	مکانیسم گلوکوآمیلаз
۸۰	انتقال سوبسترا

فصل ۵: کینتیک آنژیمی

۸۴.....	نامگذاری
۸۵.....	بررسی مختصری از کینتیک شیمیایی
۸۷.....	تمام کینتیک آنژیم
۱۱۱.....	S سیستم‌های دو سوبسترا
۱۱۳.....	S بررسی پارامترهای کینتیکی از نمودار لینویر- برک
۱۱۴.....	S مشتق از معادلات سرعت برای مکانیسم‌های پیچیده

فصل ۶: کوآنژیم و ویتامین‌ها

۱۲۶.....	کوآنژیم‌ها
۱۴۵.....	ویتامین‌ها

فصل ۷: مقدمه‌ای بر متابولیسم

۱۵۳.....	ترکیبات پر انرژی
۱۵۶.....	ترکیبات با انرژی متوسط
۱۵۶.....	ترکیبات کم انرژی
۱۵۷.....	بازسازی نوکلئوزیدهای دی و تری فسفات
۱۵۷.....	مسیرهای متابولیک و تنظیم آنها

فصل ۸: متابولیسم کربوهیدرات / بخش اول: گلیکولیز و گلوکونئوزنز

۱۶۳.....	گلیکولیز
۱۷۷.....	آنژیمهای متابولیسم گالاکتوز
۱۸۲.....	گلوکونئوزنز
۱۸۸.....	تنظیمات هماهنگ بین گلیکولیز و گلوکونئوزنز
۱۹۲.....	چرخه کوری
۱۹۳.....	چرخه گلوکز- آلانین
۱۹۳.....	مکانیسم انتقال اگرالواستات از میتوکندری به سیتوزول
۱۹۴.....	مسیر پنتوز فسفات

فصل ۹: چرخه اسید تری کربوکسیلیک

۲۰۳.....	تبديل پپروات به استیل کوا
۲۰۶.....	چرخه TCA: سرنوشت استیل کوا
۲۰۸.....	انرژی اکسیداسیون پپروات
۲۰۹.....	شیمی فضایی چرخه TCA
۲۱۰.....	آنژیمهای چرخه TCA و مکانیسم‌های آنها
۲۱۵.....	تنظیمات اکسیداسیون استیل کوا

فصل ۱۰: انتقال الکترون و فسفروریلاسیون اکسیداتیو

۲۱۹.....	انتقال الکترون
----------	----------------

۲۲۱	اجزای زنجیره انتقال الکترون.....
۲۲۵	انتقال الکترون و پروتون.....
۲۲۵	فرضیه شیمیوسوموتیک.....
۲۲۷	ATP سنتاز.....
۲۳۰	انتقال نوکلئوتیدها و p_i از غشاء میتوکندری
۲۳۱	Sرنوشت NADH در بافت هوایی.....
۲۳۲	تنظیم فسفوریلاسیون اکسیداتیو
۲۳۴	فصل ۱۱: متابولیسم کربوهیدرات‌ها / بخش دوم: سنتز و تخریب دی، آلیگو و پلی ساکارید
۲۳۹	سنتز و تخریب دی ساکارید.....
۲۴۲	گلیکوزنولیز.....
۲۴۴	گلیکوزن.....
۲۴۵	تنظیم فسفریلаз.....
۲۴۶	تنظیم گلیکوزن سنتاز.....
۲۴۶	سنتز و تجزیه نشاسته
۲۴۷	سنتز و تجزیه سلولز.....

فصل ۱۲: متابولیسم لیپیدها

۲۴۸	هضم لیپید.....
۲۴۹	تجزیه اسیدهای چرب
۲۵۱	انتقال اسیدهای چرب به میتوکندری.....
۲۵۲	بنا-اکسیداسیون اسیدهای چرب.....
۲۵۳	انرژی حاصل از مسیر بنا-اکسیداسیون.....
۲۵۳	بنا-اکسیداسیون اسیدهای چرب غیر اشباع.....
۲۵۴	اکسیداسیون اسیدهای چرب با تعداد اتم کربن فرد
۲۵۴	بیوسنتز اسید چرب
۲۵۶	نظرات در مورد سیستم FAS
۲۵۷	تنظیم متابولیسم اسید چرب
۲۵۷	بیوسنتز تری اسیل گلیسرول
۲۵۸	تشکیل اجسام کتون
۲۶۰	طویل‌سازی اسید چرب
۲۶۰	غیراشباع اسید چرب
۲۶۲	لیپوپروتئین‌ها و انتقال لیپید
۲۶۴	بیوسنتز کلسترول
۲۶۴	چرخه گلی اکسالات

فصل ۱۳: متابولیسم اسیدهای آمینه

۲۶۶.....	چرخه نیتروژن.....
۲۶۷.....	متابولیسم اسید آمینه.....
۲۶۸.....	بیوسنتز اسیدهای آمینه غیر ضروری.....
۲۷۱.....	تجزیه اسید آمینه.....
۲۷۱.....	اسیدهای آمینه ضروری.....
۲۷۳.....	اسیدهای آمینه پیش‌ساز تنظیم‌کننده‌های متابولیک.....
۲۷۷.....	چرخه اوره کربس.....

فصل ۱۴: متابولیسم نوکلئوتید

۲۷۹.....	سنتز از نو (Denovo) نوکلئوتید پیریمیدین.....
۲۸۶.....	کاتابولیسم نوکلئوتید پیریمیدین.....
۲۸۷.....	سنتراز نو (de novo) نوکلئوتید پورینی.....
۲۹۴.....	سنتز و تنظیم دئوکسی ریبونوکلئوتید.....
۲۹۶.....	تیمیدیلات سنتراز.....
۲۹۷.....	تجزیه پورین‌ها.....
۲۹۷.....	مسیرهای بازیابی نوکلئوتید پورین و پیریمیدین.....

فصل ۱۵: فتوسنتز

۳۰۰	کلروپلاست.....
۳۰۰	نور و خواص آن.....
۳۰۱	رنگدانه فتوسنتز.....
۳۰۲	فوتوسیستم‌ها (سیستم‌های نوری).....
۳۰۶	سنتز ATP.....
۳۰۶	واکنش مستقل از نور.....
۳۰۶	چرخه کالوین.....

فصل ۱۶: متابولیسم RNA، DNA و پروتئین

۳۱۱	DNA.....
۳۱۸	RNA.....
۳۲۳	متابولیسم پروتئین.....
۳۲۶	سنتز پروتئین.....

فصل اول

سلول و اجزای آن

اتاق گفتگوی

خوانندگان این فصل

با کتابخانه آسیکن



ارسال نظر

برای نویسنده و ناشر

با کتابخانه آسیکن



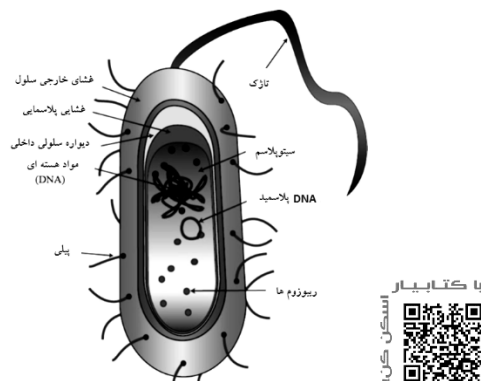
سلول‌ها که واحدهای سازمان‌یافته اصلی حیات هستند، به دو نوع پروکاریوتی و یوکاریوتی تقسیم می‌شوند. تفاوت اصلی میان دو نوع سلول، وجود غشای سلولی است. در سلول پروکاریوتی مادهٔ ژنتیکی، دئوکسی ریبونوکلئیک اسید (DNA)، توسط غشای احاطه نشده است. به عبارت دیگر، در سلول‌های یوکاریوتی، DNA در داخل غشا محبوس شده و ساختاری به نام هسته ایجاد کرده است. سلول یوکاریوتی دارای تعداد زیادی اندامک‌های محصور در غشا است، در حالی‌که سلول‌های پروکاریوتی فاقد این نوع اندامک‌های غشادر می‌باشد.

نمونه‌ای از سلول پروکاریوتی: اشريشيا كولي

اشريشيا كولي سلولی پروکاریوتی و میله‌ای شکل است که اغلب به عنوان یک ابزار پژوهش سلولی در بیوشیمی استفاده می‌شود (شکل ۱-۱). سلول اشريشيا كولي بسیار کوچک است ($1/5 \times 0.5$ میلی متر)، تقریباً به اندازه $10 \mu\text{m}$ درصد یک سلول معمولی جانوری. این سلول پروکاریوتی توسط غشای خارجی، دیواره سلولی و یک غشای داخلی احاطه شده است.

غشای داخلی به عنوان اولین سد نفوذپذیر سلول عمل می‌کند. دیواره سلولی باعث قدرت و شکل سلول می‌شود، در حالی‌که غشای خارجی، دومین سد نفوذپذیر سلول است که به انسجام ساختاری آن کمک کند. اجزای داخل سلولی اشريشيا كولي عبارند از:

۱. سیتوزول یا سیتوپلاسم: محیط داخل سلول است و شامل آنزیمهای و مواد محلول در آب می‌باشد.
۲. دئوکسی ریبونوکلئیک اسید (DNA) نوکلئوئید یا سلولی: حاوی مادهٔ ژنتیکی سلول، در سیتوزول قرار دارد.
۳. غشای پلاسمایی، متشكل از دو لایهٔ لیپیدی که اطراف سیتوپلاسم را در بر می‌گیرد.
۴. فضای پری پلاسمیک (نمایش داده نشده) فضای بین غشای پلاسمایی و غشای خارجی است.



- شکل ۱-۱ شکلی شماتیک از یک سلول اشريشیا کولی معمولی برای نشان دادن برخی از اجزای مهم آن
۵. ریبوزوم‌ها از ترکیب اسید ریبونوکلئیک (RNA) با پروتئین ساخته شده‌اند و محل‌های بیوسنتز پروتئین هستند.
 ۶. نقل و انتقال باکتری توسط تازک انجام می‌شود. اکثر سلول‌ها بیش از یک تازک دارند، اگرچه یک تازک در شکل ۱-۱ نشان داده شده است.
 ۷. برخی از سلول‌های باکتریایی توسط پیلی به میزبان خود می‌چسبند که این پیلی‌ها در سطح باکتری قرار دارند. همچنین پیلی طی انتقال DNA، هنگامی که سلول‌های باکتریایی تحت فعالیت جنسی هستند، در چسبندگی سلول نقش دارد.
 ۸. DNA پلاسمیدی-ماهواره‌ای که مجرزا از DNA نوکلئوئیدی است.

آرکی

آرکی‌ها جزء پروکاریوت‌ها هستند. با این حال، از نظر ژنتیکی از باکتری‌هایی مانند باکتری اشريشیا کولی متفاوت می‌باشند. اعتقاد بر این است که آرکی‌ها فراوان‌ترین اشکال زنده روی زمین هستند. تصور می‌شود که حدود ۴۰ درصد از موجودات زنده موجود در دریا را تشکیل می‌دهند.

سلول یوکاریوئی (غیرگیاهی)

اجزای یک سلول یوکاریوئی معمولی در شکل ۲-۱ نشان داده شده است. سلول یوکاریوئی توسط یک غشای پلاسمایی منفرد احاطه شده است. ویژگی‌های سلول‌های یوکاریوئی عبارتند از:

۱. غشای سلولی (غشاء پلاسمایی) سلول را محصور کرده و هر سلول را از سلول‌کناری جدا می‌کند. غشا امکان ورود و خروج متابولیت‌های سلولی را فراهم می‌کند.
۲. هسته، بزرگ‌ترین اندامک سلول، به استثنای واکوئل در گیاهان، حاوی بیشترین DNA سلول است. غشای اطراف آن دو لایه است. همانندسازی و رونویسی DNA، که انتقال اطلاعات از RNA به DNA به می‌باشد، در این اندامک رخ می‌دهد.

گفته می‌شود که فرم یون زویتر در نقطه ایزوالکتریک (PI) اسیدهای آمینه است، یعنی اسیدآمینه در این حالت، در یک میدان الکتریکی حرکت نخواهد کرد. بسته به pH محلول، PI اسیدآمینه ممکن است بالا (منفی) و یا پایین (ثبت) باشد.

بدیهی است یک اسیدآمینه هنگامی که در یک میدان الکتریکی قرار بگیرد، با PI پایین به طرف کاتد و با PI بالا به طرف آند می‌رود. توجه به این نکته حائز اهمیت است که مقادیر PK برای اسیدهای آمینه در محلول، به‌طور قابل توجهی متفاوت از گروه‌های مشابه عملکردی در پروتئین‌هایی است که ثابت دی الکتریک آنها نسبت به آب بسیار متفاوت است.

هنگامی که یک اسیدآمینه خنثی مانند گلیسین در آب قرار گیرد، pH برابر ۶-۶ می‌شود. معادله مورد استفاده برای محاسبه pH اسیدهای آمینه خنثی در محلول عبارتست از:

$$\text{pH} = \frac{\text{pK}_1 + \text{pK}_2}{2} = \frac{2 / 4 + 9 / 8}{2} = 6 / 1$$

برای اسیدآمینه دی اسیدی (با دو گروه کربوکسیل) مانند گلوتامات، pK_3 ، PK گروه آمین، در محاسبات قرار نمی‌گیرد.

$$\text{pH} = \frac{\text{pK}_1 + \text{pK}_2}{2}$$

چون مقدار گروه باردار آمین (NH_3^+) بسیار کوچک است و به‌طور معنی‌دار در pH محلول تأثیری ندارد. در مورد اسیدآمینه دی بازی (دو گروه آمین) در محلول، pH برابر است با:

$$\text{pH} = \frac{\text{pK}_1 + \text{pK}_3}{2}$$

اسیدهای آمینه به دلیل اینکه اسیدها و بازهای ضعیفی هستند، می‌توانند به عنوان بافر عمل کنند. بافرها اسیدها و یا بازهای ضعیف و نمک مزدوج آنها هستند که در برابر تغییرات pH در زمان اضافه شدن اسیدها (H^+) و یا بازها (OH^-) مقاومت می‌کنند. اساس عمل بافر اسیدی (HA) و نمک آن (A^-) به شرح زیر است:

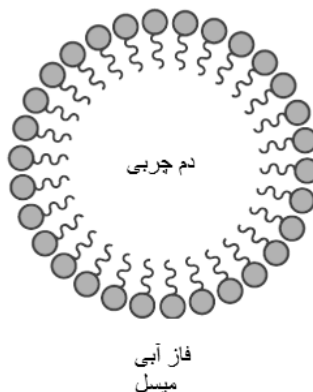


هنگامی که یک اسید (H^+) به بافر اضافه می‌شود، با نمک (A^-) ترکیب شده، درنتیجه به‌طور مؤثر اضافه از محلول حذف می‌شود و pH محلول بدون تغییر باقی می‌ماند. هنگامی که یک باز (OH^-) به بافر اضافه شود، یک پروتون (H^+) با باز اضافه شده (OH^-) واکنش می‌دهد و HA برای حفظ تعادل و ثابت غلظت H^+ جدا می‌شود.

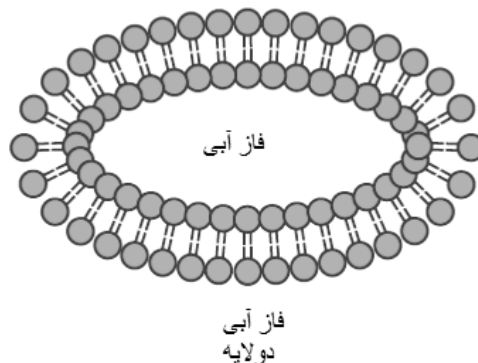
به عنوان یک قاعده، بافرها هنگامی مؤثر هستند که نسبت [نمک] به [اسید] بزرگ‌تر از ۱/۱۰ یا کمتر از ۱۰/۱ باشد. ظرفیت بافری هنگامی کاهش می‌یابد که این مقادیر بیش از حد باشد. یک معادله بسیار مفید، در زمان تهیه یک بافر، معادله هندرسون-هاسلباخ است:

$$\text{pH} = \text{pK}_a + \log \frac{[\text{نمک}]}{[\text{اسید}]}$$

مشتق معادله هندرسون-هاسلباخ:



شکل ۳۵-۲- ساختار یک میسل معمولی که نشان دهنده رابطه بین اسیدهای چرب و محلول آبی است.

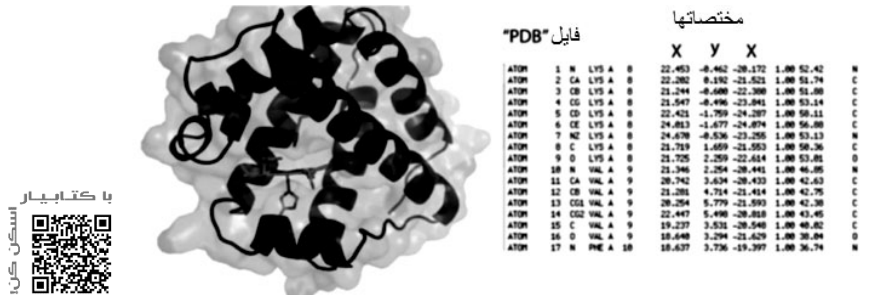


شکل ۳۶-۲- ساختار یک دو لایه مصنوعی (سینتیک)

مطالعات نشان داده‌اند که ضخامت دو لایه حدود ۶۰ انگستروم است. دولایه لیپیدی ساختاری بسیار شبیه به غشاء بیولوژیکی دارد و درنتیجه خواص آنها به صورت گسترده‌تر مورد مطالعه قرار گرفته است. دو لایه‌های مصنوعی برای کارهای آزمایشگاهی، لیپوزوم‌ها، توسط فراصوت از فسفولیپیدها و اسفنگوکولیپیدها به دست آمده‌اند.

۴. غشاهای زیستی با جزئیات موردنظر بحث قرار نمی‌گیرند؛ با این حال، به بیان ساده، به دلیل داشتن دولایه لیپیدی شبیه به لیپوزوم‌ها هستند، اما برخلاف لیپوزوم‌ها حاوی دو نوع پروتئین می‌باشند. یکی، پروتئین‌های داخل غشایی که در دولایه فرو رفته‌اند و دیگری، پروتئین‌های جانبی که یا در سطح غشا دولایه و یا مرتبط با پروتئین داخل غشایی هستند. چربی‌های مختلف مانند کلسترول نیز از اجزای غشاء بیولوژیک بوده و بر سیالیت آن تأثیر می‌گذارند (شکل ۳۷-۲).

یادگیری ساختار عناصر مهم مفید هستند. تمامی تصاویر ساختارهای پروتئین، به عنوان فایل‌های حاوی مختصات سه بعدی هر اتم در مولکول شروع می‌شوند. این مختصات به صورت تجربی اندازه‌گیری شده‌اند و برای استفاده دانشمندان در بانک داده‌های پروتئین همراه با پسوند «pdb» ذخیره شده‌اند (شکل ۱۲-۳). این مختصات اتمی می‌توانند پس از آن رسم شده و هنرمندانه در بسیاری از روش‌های مختلف ارائه گرددند، که منجر به غنی‌سازی تصاویر مولکولی شده و صفحات زیست‌شناسی و متون بیوشیمی را زینت بخشند.



شکل ۱۲-۳ - ساختارهای پروتئین، تفسیر هنرمند از یک مختصات مولکولی از یک فایل "pdb" هستند. اولین ساختار پروتئینی بررسی شده با رزولوشن اتمی، میوگلوبین اسپرم نهنگ، در سال ۱۹۵۷ بود. جان کندر و ماکس پروتز جایزه نوبل شیمی را در این رابطه دریافت کردند و اولین ساختار از هموگلوبین گلبول‌های قرمز خون، در سال ۱۹۶۰ منتشر شد. روش کریستالوگرافی اشعه ایکس برای اندازه‌گیری این ساختارها مورد استفاده قرار گرفت و هنوز هم این روش اغلب برای بررسی ساختارهای جدید مورداستفاده قرار می‌گیرد. دو مشکل بزرگ که اولین زیست‌شناسان ساختاری با آنها مواجه بودند نحوه تفکیک اشیاء نزدیک به هم همچون پیوندهای شیمیایی آلی (حدود ۱-۵ انگستروم) و نحوه جلوگیری از چرخش متوسط مولکول در طول جمع‌آوری داده‌هast.

مسئله اول مربوط به این واقعیت است که اشعه استفاده شده برای تفکیک اشیاء نمی‌تواند طول موج بیشتری از اندازه اشیاء برای تفکیک داشته باشد. به عنوان مثال، چشم ما از نور مرئی (طول موج حدود ۵۰۰ نانومتر) برای دیدن اشیاء به اندازه حدود $1/10$ میلی‌متر استفاده می‌کند. در آن لحظه، شبکیه ما محدود می‌شود، اما اگر ما از میکروسکوپ نوری برای بزرگنمایی استفاده کنیم، می‌توانیم اشیاء را تا حدود ۱ میکرومولار ببینیم (حدود دو برابر طول موج نور مرئی). با این حال، در آن نقطه، نور مرئی دیگر نمی‌تواند اشیاء کوچک را تفکیک کند. برای تفکیک اشیاء در حدود $1/5$ انگستروم، ما به تابش طول موج نزدیک و یا کوتاه‌تر از این نیاز داریم. اشعه X، که تولید آن آسان و نسبتاً بی‌ضرر است، این نیاز را برطرف می‌کند.

هنگامی که مولکول‌ها در محلول هستند، در تمام حالات چرخشی و ترجمه‌های در ظرف وجود دارند. اگر چنین مولکولی در معرض اشعه X قرار بگیرد، تصویر گرفته شده، میزان متوسطی از چرخش را آشکار خواهد کرد و قادر اطلاعات باوضوح بالا در مورد مکان‌های نسبی هر اتم می‌باشد. برای رسیدن به این سطح از تصویربرداری، مولکول‌ها باید در یک یا تعداد کمی از جهت‌گیری‌ها ثابت شوند. این نیاز با استفاده

(الف) گلوبول‌های قرمز خون حاوی غلظت‌های بالای (بیشتر از ۳۰ میلی مolar) پروتئین هموگلوبین هستند، که اکسیژن را در پستانداران انتقال می‌دهد. رنگ قرمز از گروه پروستیک هم نشأت می‌گیرد (ب) که حاوی آهن است (به رنگ قهوه‌ای) مسئول بیشتر رنگ‌هاست.

انتقال اکسیژن است و ابزارهای مورداستفاده برای مطالعه ساختار و عملکرد پروتئین، تا حد زیادی با هدف درک این مسئله که ساختار هموگلوبین چگونه ایفای نقش می‌کند، توسعه یافته‌است. هموگلوبین برخلاف بسیاری از آنزیم‌ها، واکنش‌های شیمیایی را به عنوان بخشی از عملکرد اصلی و طبیعی خود کاتالیز نمی‌کند. به سادگی به اکسیژن متصل شده و اکسیژن آزاد می‌کند؛ در ریه‌ها که اکسیژن فراوان است، به آن اتصال می‌یابد، سپس آن را در بافت‌هایی که به اکسیژن دسترسی ندارند، آزاد می‌کند. بنابراین، در حالی که واکنش‌های شیمیایی را کاتالیز نمی‌کند، انتقال اکسیژن را ترتیب می‌دهد. در ساده‌ترین شرایط، اتصال قابل برگشت اکسیژن (O_2) به یک پروتئین (P) را می‌توان با معادله زیر توصیف کرد.



ثابت تعادل تفکیک برای این واکنش عبارتست از:

$$Y = \frac{[PO_2]}{[P] + [PO_2]} \quad (2-3)$$

اگر علاوه‌مند به اندازه‌گیری بخشی از پروتئین متصل شده به اکسیژن در غلظت‌های مختلف اکسیژن باشیم، می‌توانیم «اشباع کسری» پروتئین را به صورت زیر تعریف کنیم:

$$Y = \frac{[PO_2]}{[P] + [PO_2]} \quad (3-3)$$

اگر هیچ اکسیژنی متصل نشده باشد، معادله (3-3) صفر و اگر تمامی پروتئین‌ها اکسیژن‌دار باشند، ۱ خواهد شد اگر ما بخواهیم PO_2 را در (3-3) با (3-3) جایگزین کنیم، فرمول زیر برای اشباع کسری به عنوان تابعی از غلظت اکسیژن و K بیان می‌شود.

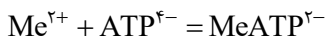
$$Y = \frac{[O_2]}{[K] + [O_2]} \quad (4-3)$$

معادله (4-3) به ما می‌گوید که میزان اشباع پروتئین‌ها با اکسیژن بستگی به ثابت تعادل تفکیک و غلظت اکسیژن دارد، که هر دو واحدهای غلظت هستند. یک راه مناسب برای تعیین (4-3) این است که $0.5 = Y$ باشد. در این مقدار، K، باید معادل با غلظت اکسیژن باشد.

بنابراین، K، غلظت اکسیژنی است که در آن P نیمه اشباع خواهد بود.

شکل منحنی اتصال معادله (4-3) در شکل ۱۴-۳ الف، با استفاده از مثال هموگلوبین با مقدار $K = 26$ تور (که از گلوبول‌های قرمز خون هموگلوبین است) نشان داده شده است.

(تور (Torr) یک واحد از سنجش فشار با فشارستج در سطح جیوه است. همچنین می‌تواند همراه با مقدار شناخته شده برای حلایت اکسیژن، به عنوان واحد غلظت اکسیژن استفاده شود و نیز نشان‌دهنده غلظت اکسیژن در محلول در فشار خاص است.

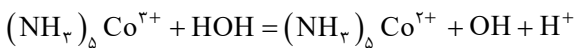


ثابت تشکیل (K_f) می‌دهد:

$$K_f = \frac{[\text{MeATP}^{\gamma-}]}{[\text{Me}^{\gamma+}][\text{ATP}^{\gamma-}]}$$

Mg^{2+} که فعال‌کننده غالب فیزیولوژیکی است، به دلیل غلظت درون‌سلولی بالای آن (حدود ۱ میلی مولار)، دارای K_f حدود 70000 M^{-1} است. فعل و افعال این فلز ممکن است با گروه‌های α و β و γ فسفریل باشد، اما شلاته‌های دو ($\beta-\alpha$) و سه دندانه‌ای ($\gamma-\beta-\alpha$) ATP راحت‌تر تشکیل می‌شوند. فلز منیزیم حداقل دو نقش را ایفا کند: اول اینکه ممکن است به عنوان یک پل بین گروه فسفریل باردار منفی نوکلئوتید و آنزیم عمل کند و دوم، الکترون‌ها را از اتم‌های فسفر دور می‌کند، درنتیجه بار مثبت آن‌ها را افزایش می‌یابد. این به نوبه خود حمله یک هسته دوست به اتم فسفر را تسهیل می‌کند. هنگامی که نوکلئوتید دی و یا تری فسفات‌ها در واکنش‌ها درگیر باشند، فرض بر این است که کمپلکس یون دو ظرفیتی فلز-نوکلئوتید سوبسترای درستی است، مگر اینکه به صراحت چیزی غیر از این اعلام شده باشد.

(ب) فلزات خاص قادر به کاهش PK آب هستند. اگرچه یون هیدروکسیل هسته دوست بسیار عالی است، غلظت آن است در pH خنثی تنها 10^{-7} مولار است. یون‌های Zn^{2+} و CO^{2+} هر دو قادر به افزایش مؤثر غلظت OH^- در مواردی هستند که عملکرد گروه هیدروکسیل هسته دوست باشد. مثالی از CO^{2+} در زیر آورده شده است:



(ج) کاتالیز کاتیون که توسط آنزیم‌های زیادی برای پلاریزه کردن (در دو قطب مخالف قرار دادن) گروه‌ها نسبت به گروه‌های فسفریل استفاده شده، در ۱۳(الف) ذکر شده است. دهیدروژناز بی‌هوざی متصل به پیریدین، الكل دهیدروژناز، به منظور افزایش بار مثبت روی اتم کربن کربونیل در استالدھید، از یون Zn^{2+} استفاده کرده است (شکل ۸-۴).

شکل ۸-۴- نقش Zn^{2+} به عنوان فعال‌کننده الكل دهیدروژناز. Zn^{2+} به طور محکم به آنزیم متصل شده است. واکنش شامل انتقال یون هیدرید و پروتون می‌باشد. (شکل نیست)

واکنش‌های جانشینی هسته دوستی

S1 (جانشینی، هسته دوستی، واکنش مرتبه اول)

(الف) هیدرولیز t -بوتیل برمید:

(ب) $V = K$ ثابت سرعت برای مرحله آهسته و یا محدود‌کننده سرعت است، (شکل ۹-۴)

تکامل کینتیک آنژیم

تاریخچه

این ایده که آنژیم و سوبسترا باید برای یک دوره محدود زمانی قبل از اینکه کاتالیز بتواند رخ دهد، یکی شوند، بر اساس کینتیک آنژیم معاصر به رسمیت شناخته شده است. اوسلیوان و تامپسون اولین کسانی بودند که چنین تعاملی را پیشنهاد کردند.

این محققان همچنانی گزارش کردند که سرعت واکنش مرتبه اول با توجه به سوبسترا و واکنش‌های آنژیمی از قانون عملکرد جرم تبعیت می‌کنند. در سال ۱۸۹۲، براون متوجه شد که واکنش‌های آنژیمی همچنانی از کینتیک نسبی مرتبه صفر برای سوبستراها خود تبعیت کرده و قادر به ترکیب این مفهوم در سال ۱۹۰۲ بود زمانی که سرعت یک واکنش آنژیم-کاتالیز در برابر غلظت سوبسترا رسم شد، نتیجه یک هذلولی مستطیلی (راست گوش) است که شامل هر دو واکنش کینتیکی مرتبه صفر و اول است. هنری در تلاش برای خلاصه کردن حالت کینتیک آنژیم در سال ۱۹۰۳، با اشاره به اینکه آنژیم‌ها ثابت تعادل را تغییر نمی‌دهند، اما سرعت واکنش را نسبت به غلظت آن افزایش می‌دهند و علاوه بر این، در مطالعات کینتیکی در غلظت‌های بسیار پایین‌تر از سوبسترا می‌باشند. با استفاده از این مفاهیم به عنوان اساس استدلال وی، هنری قادر به ارائه سرعتی بود که بسیار شبیه به معادله معروف میکائیلیس-منتن است (رجوع کنید به زیر). او همچنانی معادله خود را تکمیل کرد و نشان داد که چگونه ممکن است برای مطالعه دوره تمام وقت از یک واکنش آنژیم کاتالیز، مورداستفاده قرار گیرد. اگرچه هدف وی بررسی دوره تمام وقت از واکنش آنژیم کاتالیز بود، او اعتبار بسیار کمی برای کمک‌های پیشگام خود در مورد کینتیک آنژیم دریافت کرد.

میکائیلیس و منتن، به منظور توضیح ریاضی کینتیک آنژیم، فرض کردند که مجموعه‌ای از آنژیم و سوبسترا در تعادل با کمپلکس سیست آنژیم و سوبسترا هستند. میزان سرعت واکنش تحت تأثیر تجزیه کمپلکس آنژیم-سوبسترا برای تشکیل محصول و آنژیم آزاد قرار می‌گیرد. در سال ۱۹۲۵، بریگس و هالدان مفهوم حالت پایدار را برای ایجاد معادله هنری-میکائیلیس-منتن بیان کردند. در هر دو مشتقات حالت پایدار و تعادل غلظت کمپلکس آنژیم-سوبسترا به دلایل بسیار متفاوتی ثابت می‌ماند.

دوره زمانی واکنش آنژیم-کاتالیز

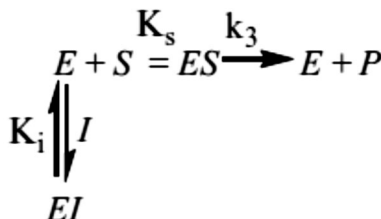
پس از شروع واکنش آنژیم کاتالیز نشان داده شده در (۵-۵)، غلظت اجزای مختلف با زمان تغییر می‌کند، همان طور که این تغییرات با شبیه‌سازی کامپیوتری در شکل ۲-۵ از دوره تمام وقت واکنش نشان داده شده است.



در شکل ۲-۵ فازهای حالت قبل پایدار و حالت پایدار واکنش آنژیم کاتالیز از (۲۸-۵) برای تولید شبیه‌سازی استفاده کرده است. شبیب نمودار سهمی در تشکیل محصول در مرحله اولیه واکنش (حالت

مهار رقابتی

طرح کلی نشان داده شده در شکل ۹-۵ مدلی از مهار رقابتی با ساختار مکانیسم هنری-میکائیلیس-منتن است. معادله سرعت مشتق شده برای یک مهارکننده رقابتی در یک سیستم Uni Uni:



شکل ۹-۵- مکانیسم مهار رقابتی برای سیستم تک سوبسٹرای

$$v = k_r [ES] \quad (۳۶-۵)$$

$$E_o = E + ES + EI \quad (۳۷-۵)$$

$$K_i = \frac{[E][I]}{[EI]}, EI = \frac{[E][I]}{K_i} \quad (۳۸-۵)$$

$$E_o = E + ES + \frac{[E][I]}{K_i} = ES + [E] \left(1 + \frac{[I]}{K_i} \right) \quad (۳۹-۵)$$

$$E = \frac{K_s[ES]}{[S]} \quad (۴۰-۵)$$

$$E_o = ES + \frac{K_s[ES]}{[S]} \left(1 + \frac{[I]}{K_i} \right) \quad (۴۱-۵)$$

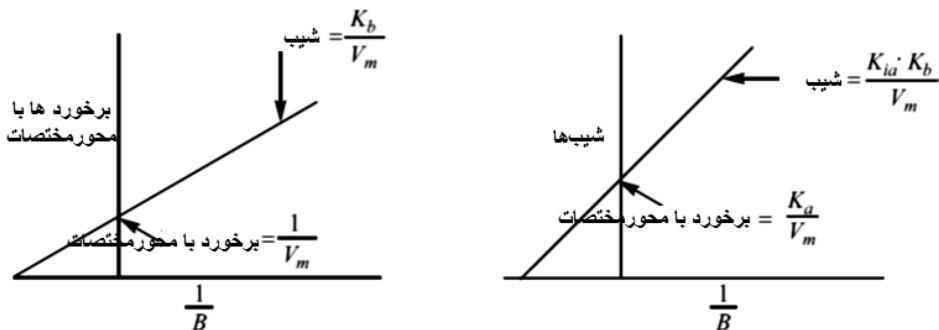
$$\frac{E_o}{ES} = 1 + \frac{K_s}{[S]} \left(1 + \frac{[I]}{K_i} \right) \quad (۴۲-۵)$$

$$\frac{K_r[E_o]}{K_r[ES]} = 1 + \frac{K_s}{[S]} \left(1 + \frac{[I]}{K_i} \right) = \frac{V_m}{v} \quad (۴۳-۵)$$

$$\frac{V_m}{v} = 1 + \frac{K_s}{[S]} \left(1 + \frac{[I]}{K_i} \right) \quad (۴۴-۵)$$

$$\frac{1}{v} = \frac{1}{V_m} = \left[1 + \frac{K_s}{[S]} \left(1 + \frac{[I]}{K_i} \right) \right] \quad (۴۵-۵)$$

توجه به این نکته حائز اهمیت است که هیچ نشانه‌ای از شکل ۹-۵ که در آن بر روی آنزیم مهارکننده متصل باشد، وجود ندارد. اگر مهارکننده و سوبسٹرا ساختاری مشابه داشته باشند، مهارکننده ممکن است در جایگاه فعال متصل شود. شاهد این مدعای در کبد پستانداران فروکتوز-۱-بیس فسفاتاز (FBPase₁) است، آنزیم برای فعالیت خود نیاز به یون‌های فلزی دو ظرفیتی دارد. β -D-فروکتوز-۲,۶-

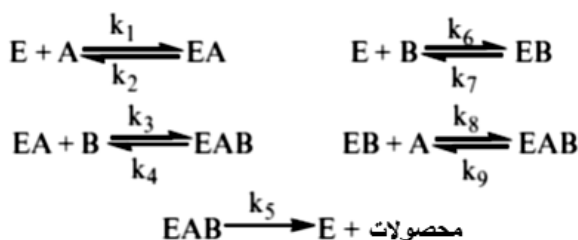


شکل ۳-۵- نمودار اولیه و ثانویه داده‌های کینتیکی برای بررسی پارامترهای کینتیکی

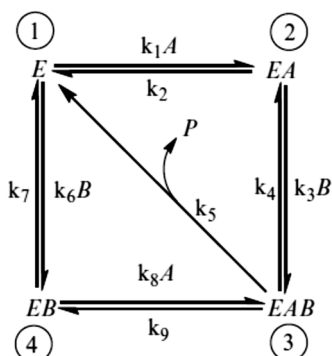
S مشتق از معادلات سرعت برای مکانیسم‌های پیچیده

S مشتقات با فرض حالت پایه

سختی موجود در معادلات مشتق سرعت به طور مستقیم با پیچیدگی مکانیسم کینتیکی متناسب است. تعدادی از روش‌ها در متن وجود دارد که سختی موجود در مشتقات را کاهش می‌دهد [S2]. یکی از روش‌هایی که تقریباً به طور انحصاری متکی بر جبر ساده است در این متن ارائه خواهد شد [S3]. مکانیسم طرح ۱-۵ را با استفاده از یک نماد تا حدودی متفاوت نشان داده شده در طرح ۲-۵ در نظر بگیرید.



نمودار ۱-۵ - مکانیسم Bi Bi تصادفی که در آن شکستن کمپلکس EAB محدود کننده سرعت است



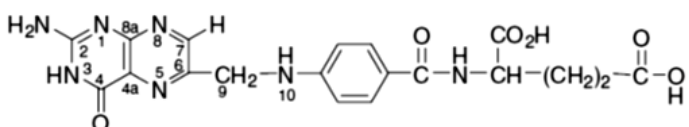
نمودار ۵-۲- مکانیسم طرح ۱-۵ در قالب مربع

کوآنزیم‌های اسیدفولیک

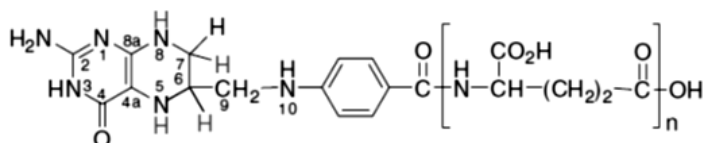
اسیدفولیک در متابولیسم‌های یک کربنی نقش دارد، به این معنا که، تعداد زیادی از واحدهای یک کربنی مختلف را به هزاران ترکیب بیولوژیکی منتقل کرده و از متنوعترین کوآنزیم‌ها می‌باشد. به عنوان مثال، برای بیوسنتز DNA، فورمیل متیونین، پورین‌ها، گلیسین، متیونین، متان و بسیاری دیگر از مولکول‌های زیستی ضروری هستند.

مشتق کوآنزیمی اولیه اسیدفولیک، ۵،۶،۷،۸-تتراهیدروفولیک اسید (FH4) است. اگرچه این ویتامین دارای یک باقیمانده گلوتامیل به عنوان بخشی از ساختارش می‌باشد (پایین را ببینید)، FH4 دارای زنجیره جانبی پلی گلوتامیل شامل پنج یا شش واحد گلوتامیل است.

اسیدفولیک خود حاوی یک جزء پترين، گلوتامات و p-آمینو بنزوئیک اسید است. گذشته از اندازه زنجیره جانبی گلوتامیل، اسیدفولیک و TH4 از نظر حالت اکسیداسیون استخلاف پترين، همان‌طور که از مقایسه ساختمان آن‌ها مشخص است، با هم متفاوت هستند (شکل ۲۷-۶).



فوئیک اسید



۵،۶،۷،۸-تراهیدروفولیک اسید



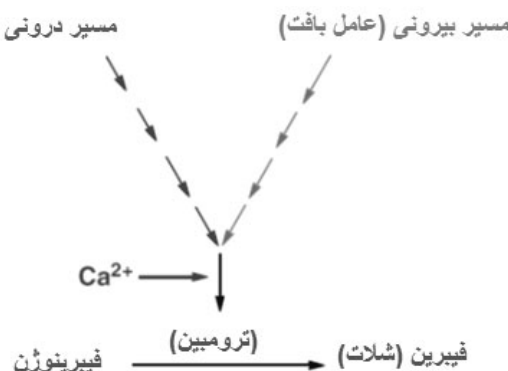
شکل ۲۷-۶ ویتامین اسیدفولیک و فرم احیا شده کوآنزیم، FH_4

آنزیم دی هیدروفولات ردوکتاز، یک دهیدروژناز بی‌هوازی متصل به NADP^+ ، اسیدفولیک را در یک واکنش دومرحله‌ای، به FH_4 احیا می‌کند، ابتدا به ۷ و ۸-دی هیدروفولات و سپس به تتراهیدروفولات (FH_4) (شکل ۲۸-۶).

پنج واحد یک کربنی مختلف، توسط کوآنزیم منتقل می‌شود:

- (الف) متیل (CH₃-)
- (ب) متیلن (-CH₂-)
- (ج) متیل (=CH-)
- (د) فورمیل (-CHO -)

پس از بریدگی یا آسیب، پلاکت‌های خون فعال شده و به صورت یک «توده یا پلاگ» در می‌آید. این پلاگ که خونریزی را کند می‌کند، از پروتئین فیبرین که در سطح پلاکت‌های خونی واقع شده و سفت می‌شود، تشکیل شده است. دو مسیر جدایگانه، اما همگرا در انسان برای تولید لخته فیبرینی وجود دارد. یکی، مسیر خارجی و یا مسیر فاکتور بافتی که با آسیب بافت، توسط یک گلیکوپروتئین به نام فاکتور بافتی آغاز می‌شود. پاسخ مسیر خارجی به آسیب سریع است. مسیر دیگر یا مسیر آهسته‌تر برای تشکیل لخته مسیر داخلی است که با تماس خون با سطوح غیرطبیعی، مثل شیشه آغاز می‌شود. همان‌طور که در نمودار ۱-۶ نشان داده شده است، هدف هر دو مسیر تشکیل ترومبین، سرین پروتئازی که پروتئین محلول در خون فیبرینوژن را به لخته فیبرینی تبدیل می‌کند، می‌باشد. Ca^{2+} به عنوان جزء ضروری مکانیسم لخته شدن، در همگرایی دو مسیر مورد نیاز است.



شکل ۶-۴۳ دو مسیر، مسیر داخلی و خارجی، در لخته شدن خون نقش دارند

لخته شدن خون در مهره‌داران توسط مسیر معروف به آبشار بیولوژیکی رخ می‌دهد. در آبشار لخته شدن خون، آنزیم‌ها در خون به صورت زیموژن می‌باشند تا با شروع آسیب، یکی از زیموژن‌ها فعال شود. سپس این آنزیم زیموژن دوم را فعال می‌کند که به نوبه خود سومی را فعال کرده و به همین ترتیب تا زمانی که زیموژننهایی، پروترومبین، فعال شود و به ترومبین تبدیل گردد. فیبرینوژن، پروتئین محلول در پلاسم است که طی عمل ترومبین، به شکل لخته فیبرینی غیرقابل حل در می‌آید.

به طور کلی، آبشار لخته شدن خون نشان‌دهنده یک سری از واکنش‌های است که منجر به افزایش تعدادی از آنزیم‌ها در هر مرحله از آبشار می‌گردد. اگر ده مولکول زیموژن توسط آسیب فعال شوند و هر آنزیم در توالی واکنش، ده مولکول زیموژن جدید را فعال کند، تعداد آنزیم‌های فعال به این صورت افزایش خواهد یافت: ۱۰ و ۱۰۰ و ۱۰۰۰ و غیره.

آنژیمهای لخته شدن خون، بیشتر از نوع سرین پروتئازها هستند. همان‌طور که دیدیم، هر مرحله در آبشار، مقدار زیادی آنزیم تولید می‌کند و پدیده افزایشی در نهایت مقدار زیادی آنزیم ترومبین تولید خواهد کرد.

جدول ۱-۱۰ - پتانسیل کاهشی استاندارد

$E'_{0,v}$	n ^a	سیستم
-۰,۳۲	۲	NAD ⁺ /NADH + H ⁺
-۰,۳۲	۲	NADP ⁺ /NADPH + H ⁺
-۰,۳۰	۲	FMN/FMNH ₂
-۰,۰۴	۲	FAD/FADH ₂
۰,۰۳	۱	b _L (Fe ⁺³) / سیتوکروم (Fe ⁺²)
۰,۰۳	۱	b _H (Fe ⁺³) / سیتوکروم (Fe ⁺²)
۰,۰۴	۲	CoQ/CoQH ₂
۰,۲۲	۱	c _I (Fe ⁺³) / سیتوکروم (Fe ⁺²)
۰,۲۴	۱	c(Fe ⁺³) / سیتوکروم (Fe ⁺²)
۰,۲۱	۱	a(Fe ⁺³) / سیتوکروم (Fe ⁺²)
۰,۳۹	۱	a ₃ (Fe ⁺³) / سیتوکروم (Fe ⁺²)
۰,۸۲	۲	$\frac{1}{2} O_2 + 2H^+ / H_2O$

^a نشان‌دهنده تعداد الکترون‌های درگیر در واکنش

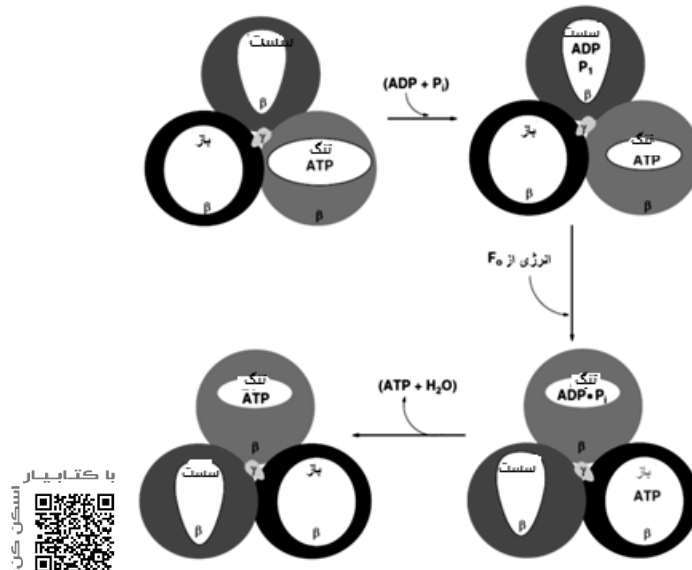
اجزای زنجیره انتقال الکtron

کوآنزیم Q

کوآنزیم Q (COQ) یا یوبی کینون، متابولیتی فعال از نظر ردوكس و مرتبط با غشا است که تحت واکنش‌های اکسیداسیون-احیای موجود در شکل ۱-۱۰، قرار می‌گیرد. در حیوانات، CoQ دارای ۵ واحد ایزوپرنوئید است (n=10)، از این‌رو اغلب به صورت Co-Q10 نامیده می‌شود.

CoQ یک ناقل متحرک الکترون و پروتون است که می‌تواند غشای داخلی میتوکندری را ترک کرده و با کمپلکس ۱ همراه شود؛ در آنجا الکترون‌ها را از FMNH₂ و پروتئین‌های آهن-سولفور (آهن-گوگرد) کمپلکس ۱ طی دو انتقال پی‌درپی تک الکترونی، دریافت می‌کند که شکل ۱-۱۰ نشان داده است. پروتون‌های ماتریکس میتوکندری، پروتون‌های لازم برای ساخت CoQH₂ را تأمین می‌کنند. CoQ از طریق عمل سوکسینات دهیدروژناز که خود جزیی از کمپلکس ۲ است، احیا می‌شود طی این واکنش سوکسینات به فومارات اکسید می‌شود. لازم به ذکر است که کمپلکس ۲ پروتون پمپ نمی‌کند. اکسیداسیون CoQH₂ در کمپلکس ۳ رخ می‌دهد.

شیمیایی حمایت شده است، از جمله مطالعات پراش اشعه X که توسط واکر پایه‌گذاری شد. هر دو دانشمند به علت کمک به ما برای درک فسفوریلاسیون-اکسیداتیو جایزه نوبل را دریافت کردند. مقالات موری عالی در این موضوع در دسترس می‌باشد [۵، ۶].



شکل ۹-۱۰- سنتز ATP از ADP و Pi در بخش F₁ از ATP سنتاز

به عنوان مکانیسم تغییر-اتصال بویر توصیف شده است. انتقال انرژی از F₀ مسئول شکل‌گیری پیوند فسفوanیدرید در زیر واحد «محکم» و همچنین تغییرات کونفورماتیونی در سایر زیر واحدهاست. حروف یونانی نشان‌دهنده نام‌گذاری زیر واحدهاست

در مکانیسم تغییر-اتصال، ADP و Pi به جایگاه اتصالی به نام «سست» متصل می‌شوند. تغییر ساختاری در F₁ حاصل از حرکت چرخشی F₀، جایگاه اتصال سوبسترای سست را به یک جایگاه اتصال «محکم» تبدیل می‌کند. در این محل، با تبدیل همزمان جایگاه محکم به یک جایگاه «باز» و تبدیل جایگاه باز به جایگاه سست، یک پیوند فسفوanیدرید بین ADP و Pi، تشکیل می‌شود. سپس این چرخه تکرار شده و مولکول دیگری از ATP تشکیل می‌گردد. مجموعه‌ای از اتفاقات که در قسمت F₁ سنتاز ATP می‌دهد در شکل ۹-۱۰ نشان داده شده است.

مکانیسم شیمیایی واکنش ATP سنتاز

ATP سنتاز با دو مکانیسم شیمیایی عمل می‌کند: یک اتم اکسیژن با بار منفی از گروه بتا فسفریل ADP می‌تواند به ارتو فسفات معدنی حمله کند، یا یک اکسیژن فسفات می‌تواند یک حمله نوکلئوفیلی به اتم بتا فسفر از ADP داشته باشد. مکانیسم شکل ۱۰-۱۰ با استفاده از HPO_4^{2-} O^{18} نشان

می‌دهد که ایزوتوب سنگین در آب ظاهر شده نه در پل اکسیژنی β -ATP در

فصل چهاردهم

متابولیسم نوکلئوتید

اتاق گفتگوی

خوانندگان این فصل

با کتابیار آشنا



ارسال نظر

برای نویسنده و ناشر

با کتابیار آشنا



متابولیسم نوکلئوتید در تمام موجودات زنده رخ می‌دهد. بارزترین بیومولکول، ازنظر تعداد واکنش‌هایی که در آن شرکت می‌کند، نوکلئوتید ATP است. اگرچه متابولیسم نوکلئوتید یک متابولیسم عمومی است، اما تا حدودی در موجودات مختلف متفاوت است، به عنوان مثال، آنزیم‌های بیوسنتز نوکلئوتید پورین، در اشريشيا كولي آنزیم‌های جداگانه‌ای هستند، در حالی که برخی از این آنزیم‌های مشابه، بخشی از پروتئین‌های دو عملکردی در انسان می‌باشند.

این امر فراتر از حوصله این کتاب است که از تمام و یا حتی بیشتر افرادی که دانش ما از نوکلئوتید و متابولیسم آنها را ارتقا دادند، نام ببریم؛ با این حال، چند تن از این افراد تأثیرگذارتر بوده‌اند: امیل فیشر، جان بوچانان، رابت گرینبرگ، آرتور کورنبرگ، آرتور پاردی و پیتر ریچارد.

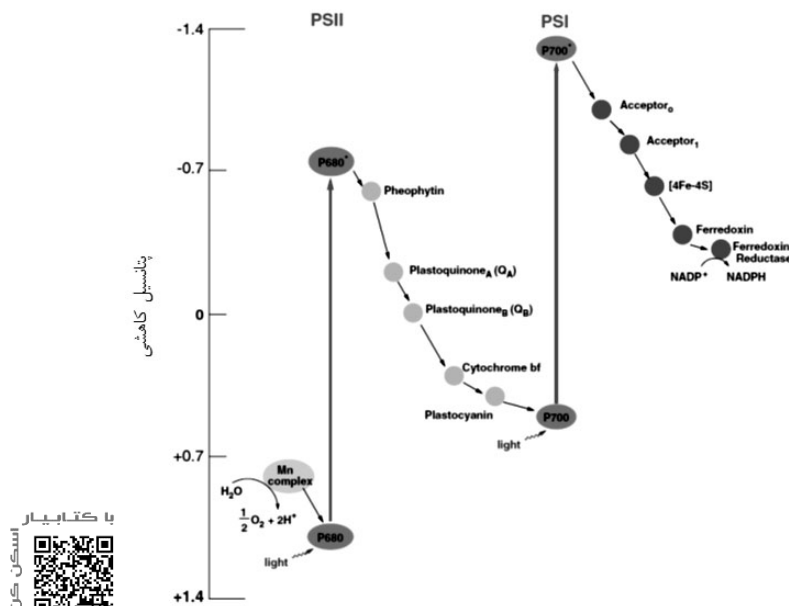
نوکلئوتیدها نه تنها اجزای RNA و DNA بوده، بلکه نقش محوری در ساخت‌وساز انرژی ایفا می‌کنند: نوکلئوزید دی و تری فسفات‌ها سوبسکراهامی لیگازها و همچنین جزیی از کوآنزیم‌ها می‌باشند. نوکلئوتیدها نه تنها در بازهای نیتروژنی خود، بلکه در قندشان نیز متفاوت هستند. در این فصل، هر دو بیوسنتز و تجزیه بیولوژیکی نوکلئوتیدها بررسی خواهد شد.

ستز از نو (De Novo) نوکلئوتید پیریمیدینی

ستز اوریدین-۵-منوفسفات

با استفاده از ایزوتوب‌ها، محققان قادر به نشان دادن سه ترکیب اصلی، گلوتامین، L-آسپارتات و بیکربنات هستند که در مسیر بیوسنتز از نو (Denovo) نوکلئوتید پیریمیدینی، در باز پیریمیدینی گنجانیده می‌شوند. علاوه بر این، با استفاده از ایزوتوب‌ها شش اتم پیریمیدین نشأت گرفته از این ترکیبات مشخص می‌شود. (شکل ۱۴-۱).

می‌کند. PSII به طور مستقیم به شیب پروتونی مسئول انرژی لازم برای سنتز ATP از ADP و Pi کمک می‌کند. این دو سیستم توسط یک مسیر که شامل سیتوکروم b₆f است (سیتوکروم bf)، همان‌طور که در شکل ۶-۱۵ نشان داده است، به هم وابسته هستند و در اصطلاح طرح Z نامیده می‌شود. پیدایش اصطلاح Z نتیجه‌ی ویژگی «زیگزاگی» طرح شکل ۶-۱۵ است.



شکل ۶-۱۵ طرح Z فتوستز

دو فوتوسیستم PSI و PSII و اجزاء آن‌ها که در فتوستز گیاه نقش دارند. ستاره‌ها (*) همراه با فوتوسیستم نشان‌دهنده فعال شدن الکترون‌های کلروفیل جفت ویژه است. فلاش‌ها نشان‌دهنده حرکت الکترون می‌باشند.

PSII

PSII، کمپلکس غشاء گذری که طول موج کمتر از ۶۸۰ نانومتر را جذب می‌کند، بسیار بزرگ است و در غشاء تیلاکوئید تعییه شده است. PSII شامل بیش از ۲۰ زیرواحد پروتئینی و بیش از ۳۰ مولکول کلروفیل آتن است. سیستم PSII در تجزیه H₂O به 2H⁺ و ½ O₂ در مرکز منگنز داخل کمپلکس نقش دارد. جفت ویژه PSII، پس از دست دادن یک الکtron، باردار مثبت می‌شود. این بار مثبت توسط الکترون‌های اکسیژن آب در مرکز منگنز خنثی می‌شود.

نسبت Q / QH₂ جفت ردوکس دارای پتانسیل احیاء کمتری از جفت H₂O بوده و انتظار می‌رود الکترون از QH₂ به Q₂ جریان یابد، با این حال، این اثر نامطلوب ترمودینامیکی با جذب انرژی نور توسط سیستم PSII از بین می‌رود.